

Algorithmen für geographische Informationssysteme

Sommersemester 2023

1. Vorlesung, Teil I

Alexander Wolff

Folien von Jan-Henrik Haunert (u.a.)

Geoinformatik

Geo-

-informatik

Geoinformatik

Geo-

**Geobotanik
Geodäsie
Geographie
Geologie
Geomatik
Geowissenschaften**

...

-informatik

**Wirtschaftsinformatik
Luft- und Raumfahrtinformatik
Bioinformatik
Technische Informatik
Medieninformatik
Sozialinformatik**

...

Geoinformatik

wissenschaftliche Grundlage für Geoinformationssysteme (GIS)

Erfassung

Verwaltung

Analyse und

Präsentation

raumbezogener Information

Geoinformatik

wissenschaftliche Grundlage für Geoinformationssysteme (GIS)

Erfassung



Verwaltung

Analyse und

Präsentation

raumbezogener Information



Geoinformatik

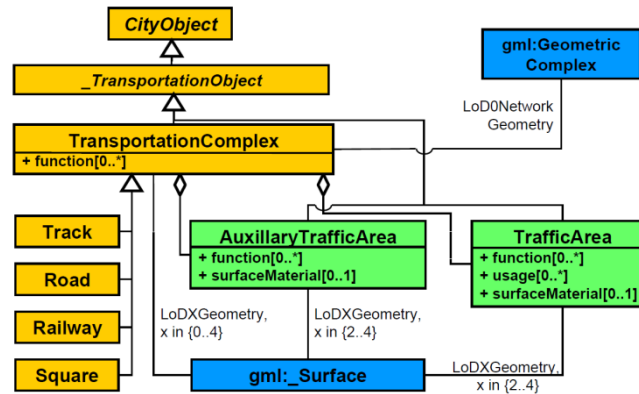
wissenschaftliche Grundlage für Geoinformationssysteme (GIS)

Erfassung

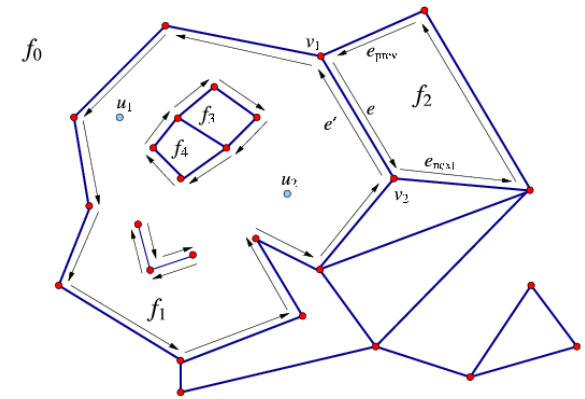
Verwaltung

Analyse und

Präsentation



Quelle: Institut für Geodäsie und Geoinformation, Uni Bonn



Quelle: www.cgal.org

raumbezogener Information

Geoinformatik

wissenschaftliche Grundlage für Geoinformationssysteme (GIS)

Erfassung

Verwaltung

Analyse und

Präsentation



„Ein Bundesland sollte zwischen **5 Mio** und **18 Mio** Einwohner haben, um effektiv wirtschaften zu können.“

www.tagesschau.de (18.7.2006)

raumbezogener Information

Geoinformatik

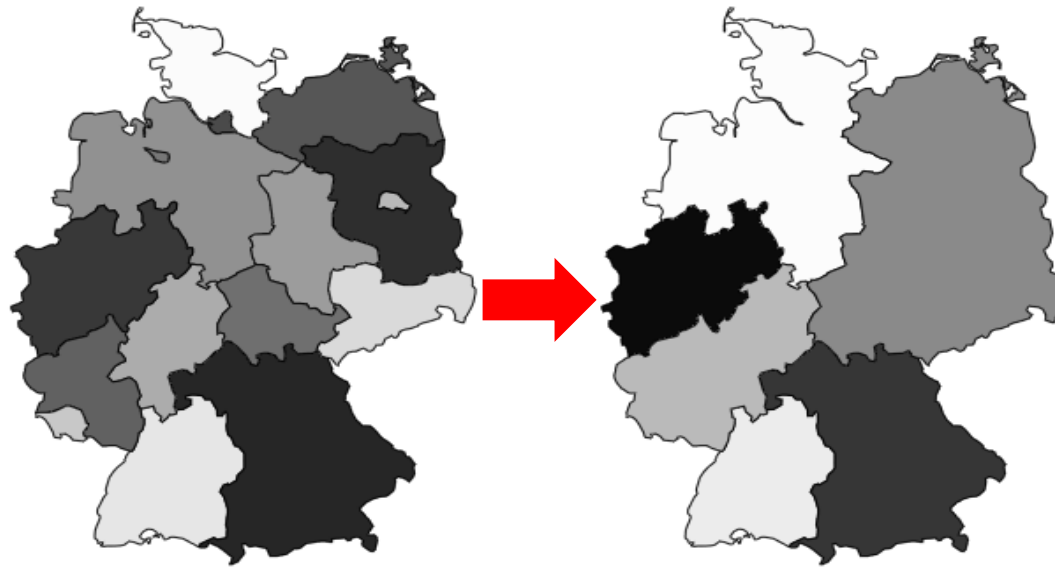
wissenschaftliche Grundlage für Geoinformationssysteme (GIS)

Erfassung

Verwaltung

Analyse und

Präsentation



minimale Grenzlänge

raumbezogener Information

Geoinformatik

wissenschaftliche Grundlage für Geoinformationssysteme (GIS)

Erfassung

Verwaltung

Analyse und

Präsentation

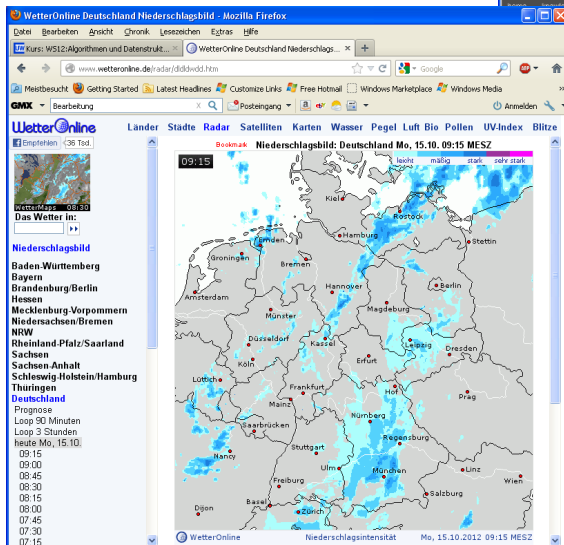
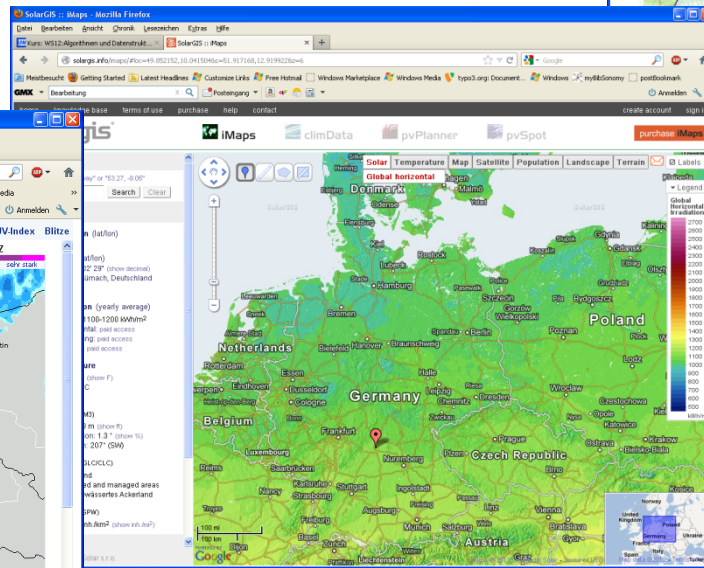
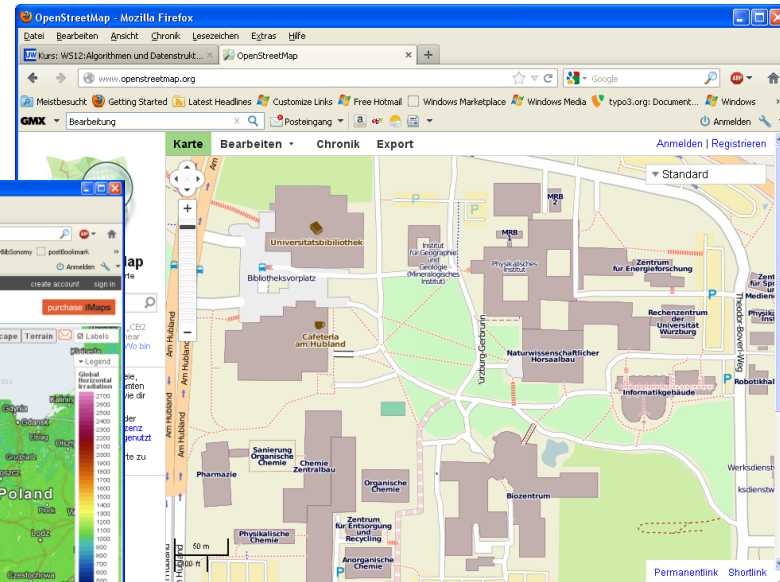
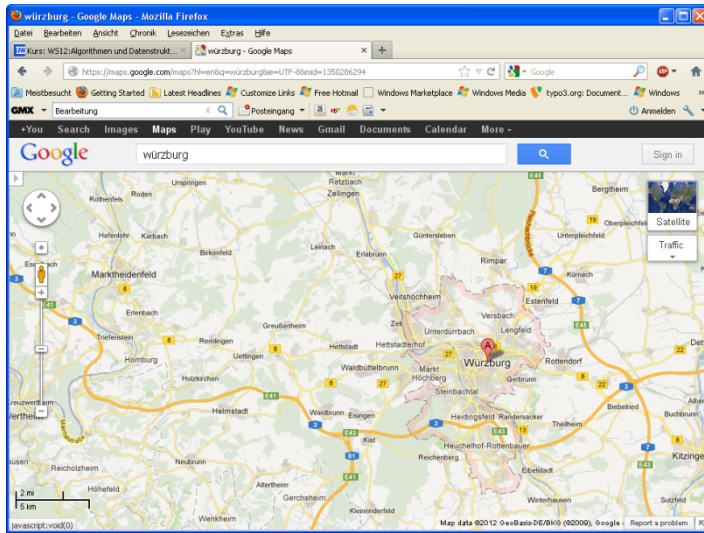


raumbezogener Information

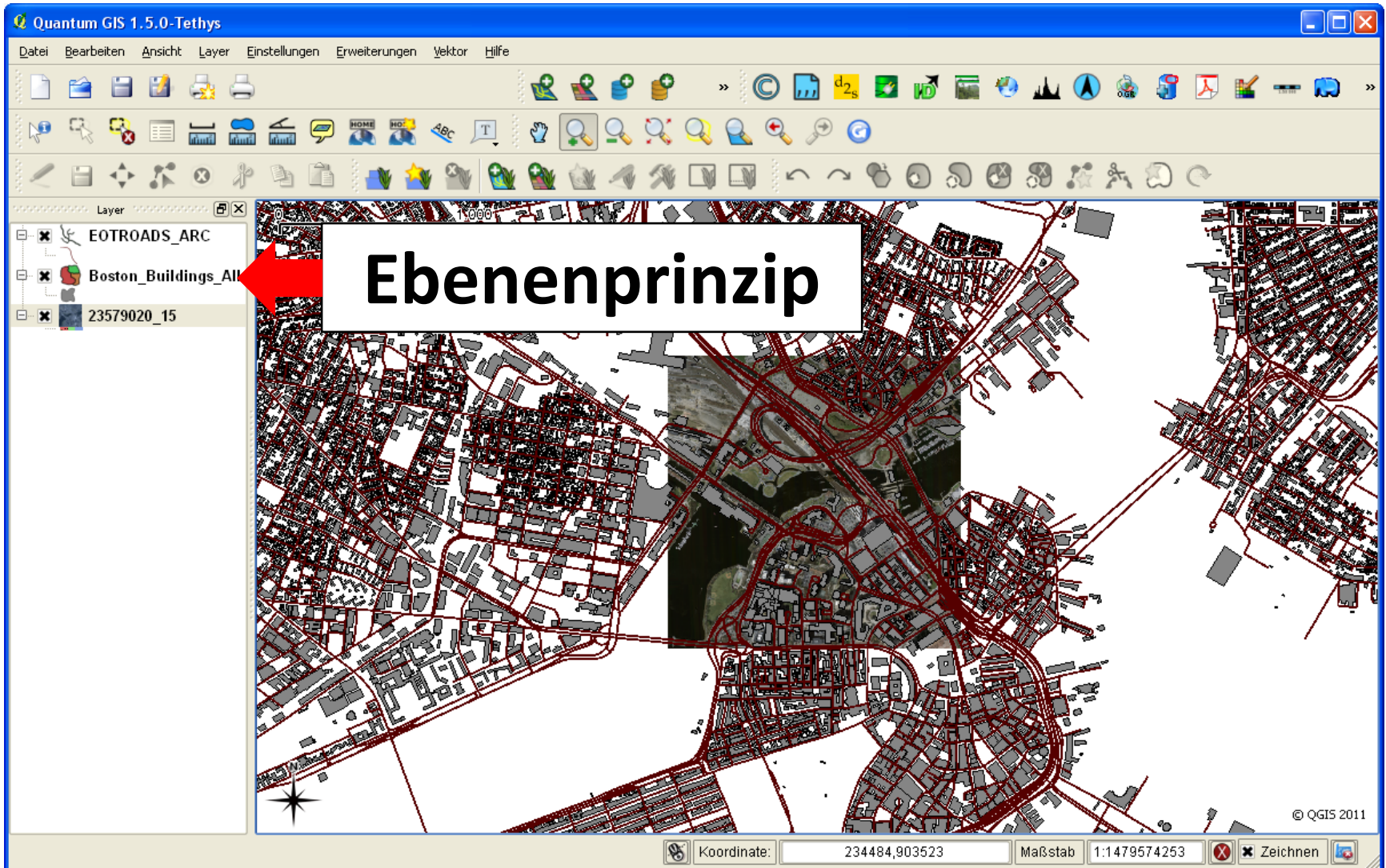
Geoinformationssysteme

	Platzhirsche	freie Software
Desktop-GIS		 Quantum Gis (Vektor)  Grass (Raster)
räumliche Datenbank		
Programmierbibliothek		JTS Topology Suite

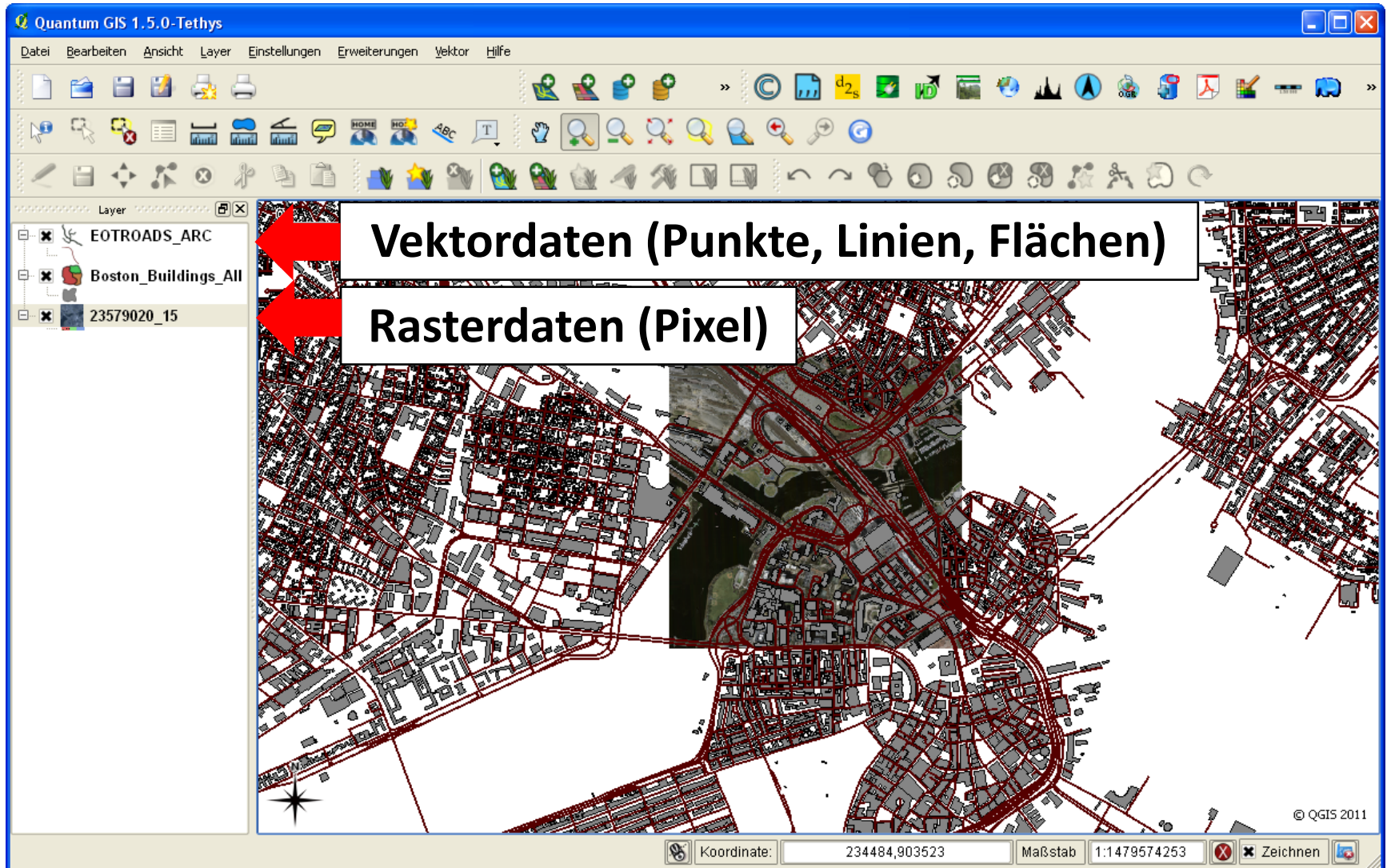
Geoinformationssysteme



Geoinformationssysteme



Geoinformationssysteme



Geoinformationssysteme

Quantum GIS 1.5.0-Tethys

Geometrie & Attribute

Attributtabelle - Boston_Buildings_All (296 Objekte gefunden)

OBJECTID	Shape_Leng	Shape_Area
0	1	52.9434078866
1	2	23.5600000098
2	3	41.9199999869
3	4	49.6750777329
4	5	22.8340284868
5	6	54.2686176262
6	7	40

Koordinate: 238540,902197 Maßstab: 1:1479574253

Organisatorisches

Eckdaten

Zielgruppe:

- Studierende im **Master-Studiengang Informatik** oder in einem **verwandten Studiengang**
- am Thema **interessierte Studierende** mit algorithmischen Grundlagenkenntnissen

Anrechenbar für Schwerpunkte:

- Algorithmik und Theorie
- Intelligente Systeme

Prüfung:

- Voraussichtlich mündlich in der Woche nach S-Ende
- Bei Bestehen: Bonus in Höhe von 0,3 Notenpunkten für 50% der Punkte bei den Übungsaufgaben

Ablauf Vorlesung

„Freischwimmer“ Geodäsie

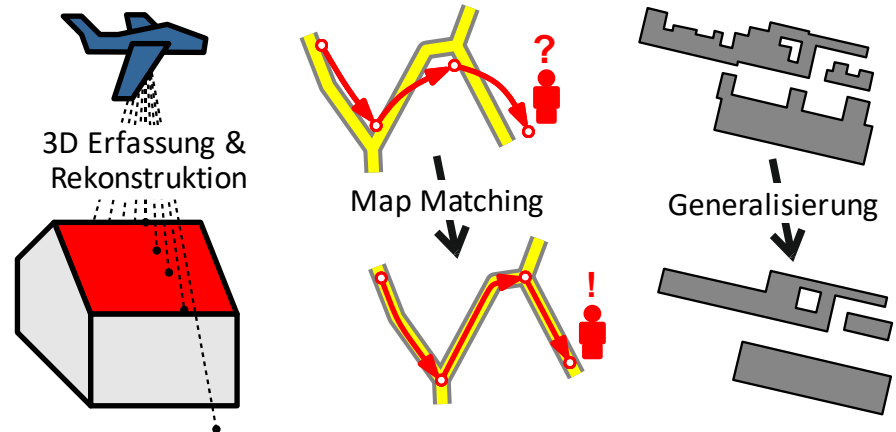
- Bezugssysteme und Kartenabbildungen
- Sensoren zur Erfassung von Geodaten



www.schwimmabzeichen.de

Algorithmen

- Kleinste-Quadrate-Verfahren
- Erstellung von Geländemodellen aus Bildern
- RanSaC
- Map Matching
- Gebietseinteilung
- Linienvereinfachung, Generalisierung
- Textplatzierung



Ablauf Übung

Wöchentliche Übungsblätter zu Verfahren/Algorithmen

- Formalisierung eines Problems
- Berechnung („zu Fuß“, kleinere Programme)
- Fragen zur Theorie

Ausgabe des Übungsblatts:

- Donnerstags, idealerweise 10:15 Uhr (via WueCampus)

Abgabe:

- Donnerstags, 10:00 Uhr (via WueCampus)

Besprechung:

- Montags in der Übung (10:15–11:45 Uhr) – Diana Sieper

Bearbeitung in 2er Gruppen möglich & erwünscht!

Grundbegriffe der algorithmischen Geometrie

Vorlesung *Algorithmische Geometrie*

Umfang: Wintersemester, 5 ECTS, 2 SWS

Zielgruppe: Master Informatik

Dozent: Boris Klemz oder Alexander Wolff

Prüfung: mündliche Prüfung nach Abschluss der Vorlesung



M. de Berg, O. Cheong, M. van Kreveld & M. Overmars:
Computational Geometry. Dritte Ausgabe, Springer, 2008.

Algorithmische Geometrie

- räumliche Indexstrukturen
- Schnittpunkte von Liniensegmenten
- Minkowski-Summe
- Voronoi-Diagramm
- Delaunay-Triangulierung

Algorithmische Geometrie

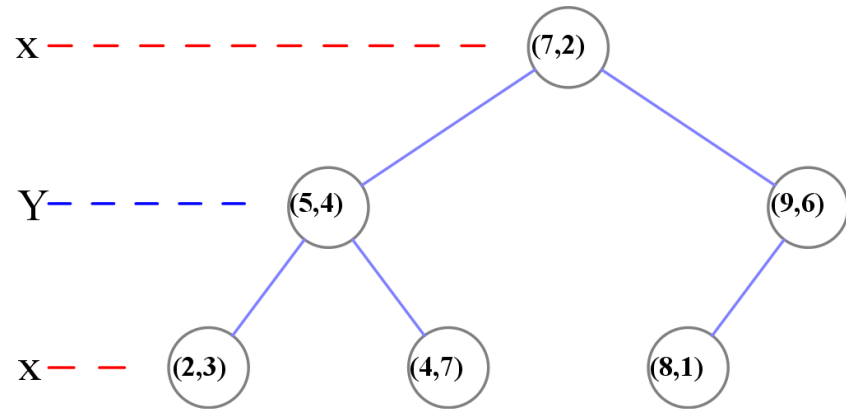
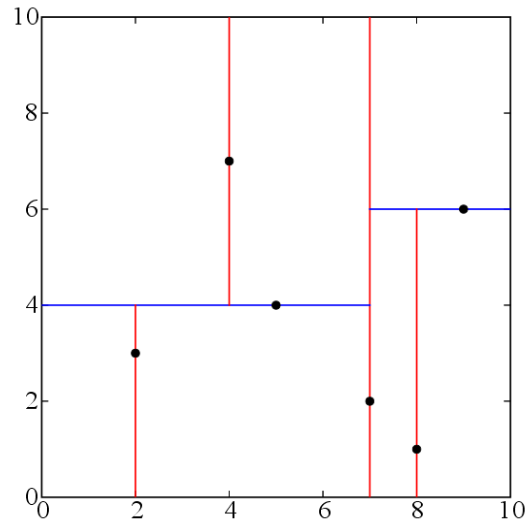
räumliche Indexstrukturen

- KD-Bäume
- Bereichsbäume
- Quadtrees
- R-Trees

Algorithmische Geometrie

räumliche Indexstrukturen

- KD-Bäume



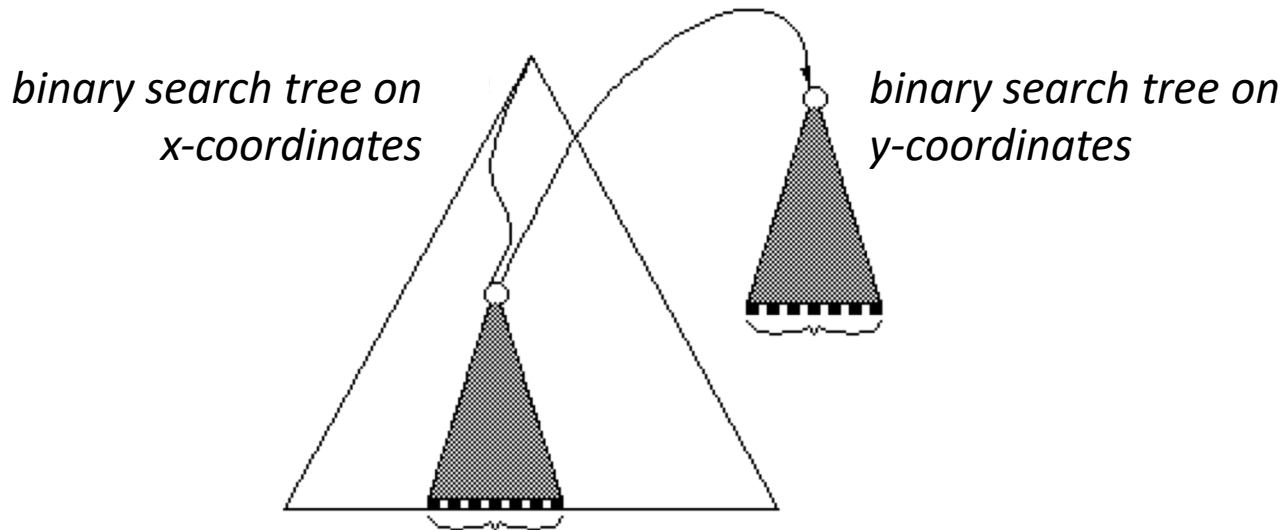
Bildquelle: wikipedia

- Verwaltung von n Punkten
- $O(n)$ Speicher
- $O(n \log n)$ Zeit für Konstruktion
- $O(\sqrt{n} + k)$ Zeit für Bereichsanfrage, k = Größe der Ausgabe

Algorithmische Geometrie

räumliche Indexstrukturen

- Bereichsbäume

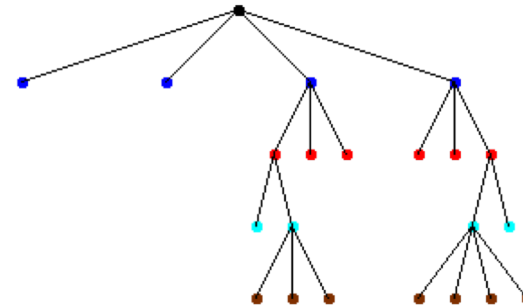
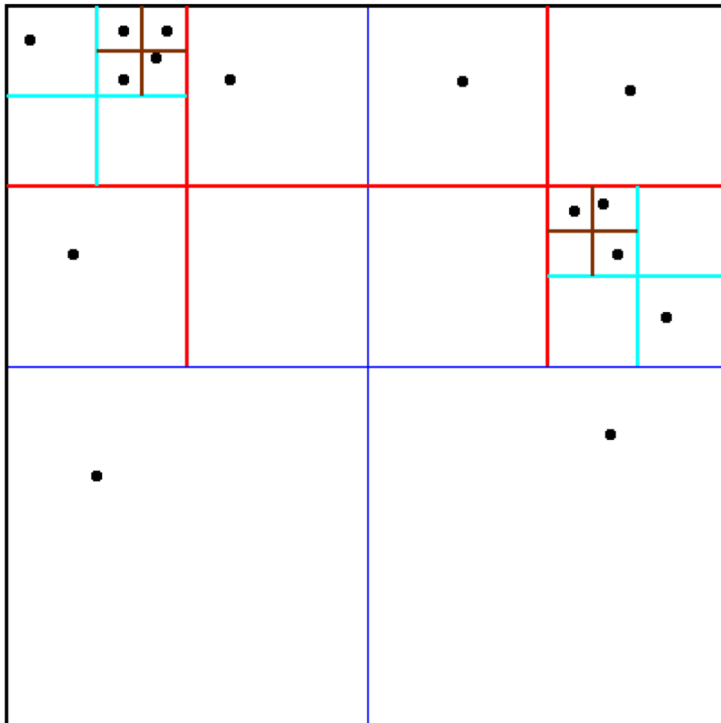


- Verwaltung von n Punkten
- $O(n \log n)$ Speicher
- $O(n \log n)$ Zeit für Konstruktion
- $O(\log^2 n + k)$ Zeit für Bereichsanfrage, k = Größe der Ausgabe

Algorithmische Geometrie

räumliche Indexstrukturen

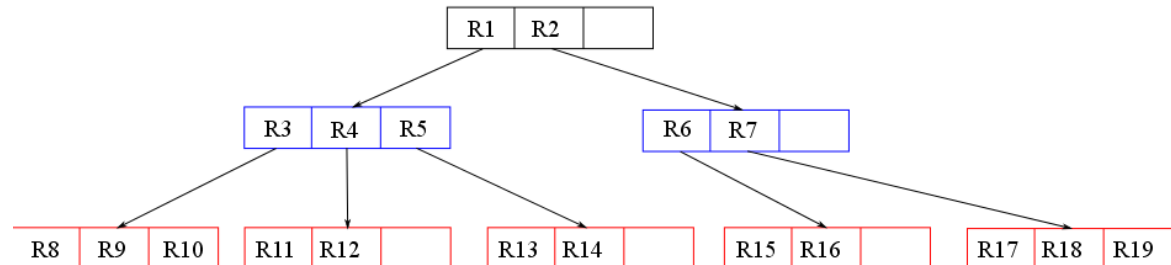
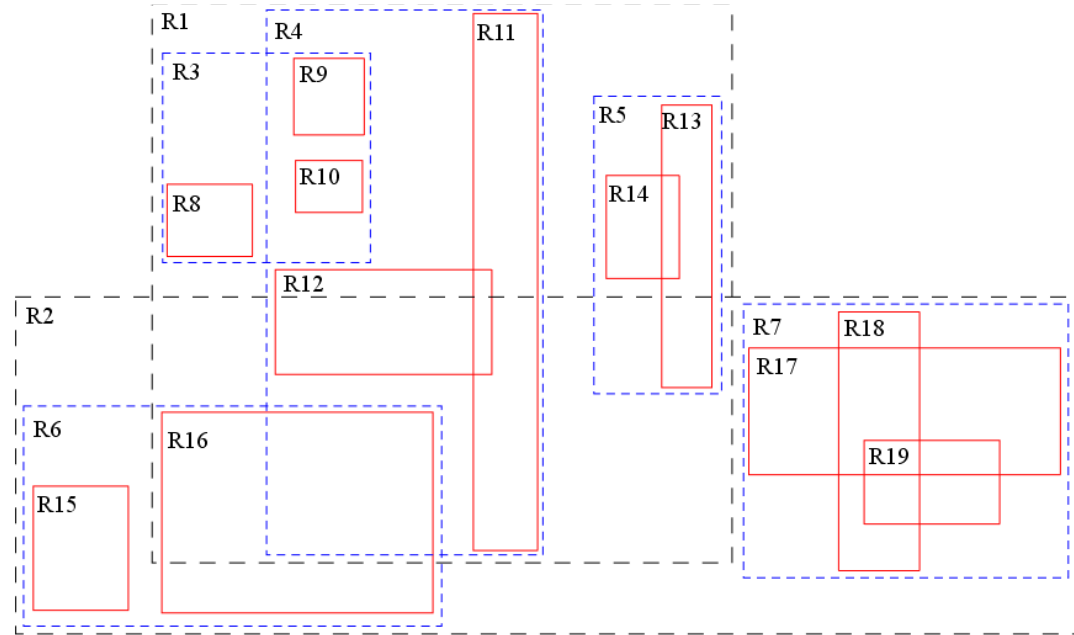
- Quadrees



Algorithmische Geometrie

räumliche Indexstrukturen

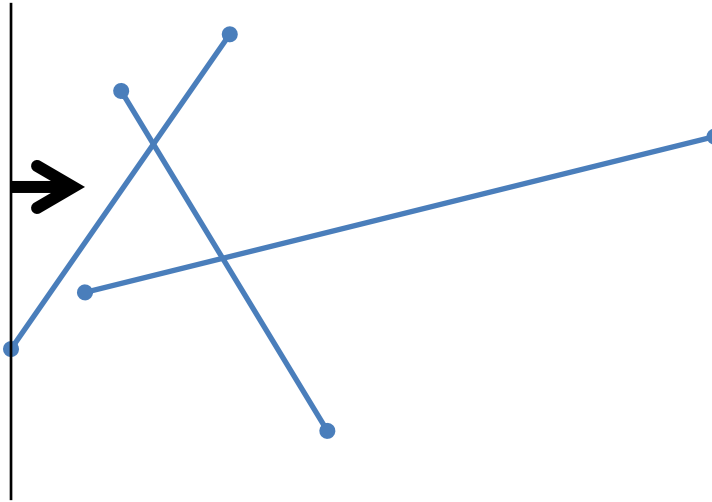
- R-Bäume



Bildquelle: wikipedia

Algorithmische Geometrie

Schnittpunkte von n Liniensegmenten



Bentley-Ottmann-Algorithmus:

- Sweep-Line-Algorithmus
- Laufzeit $O(n \log n + k \log n)$

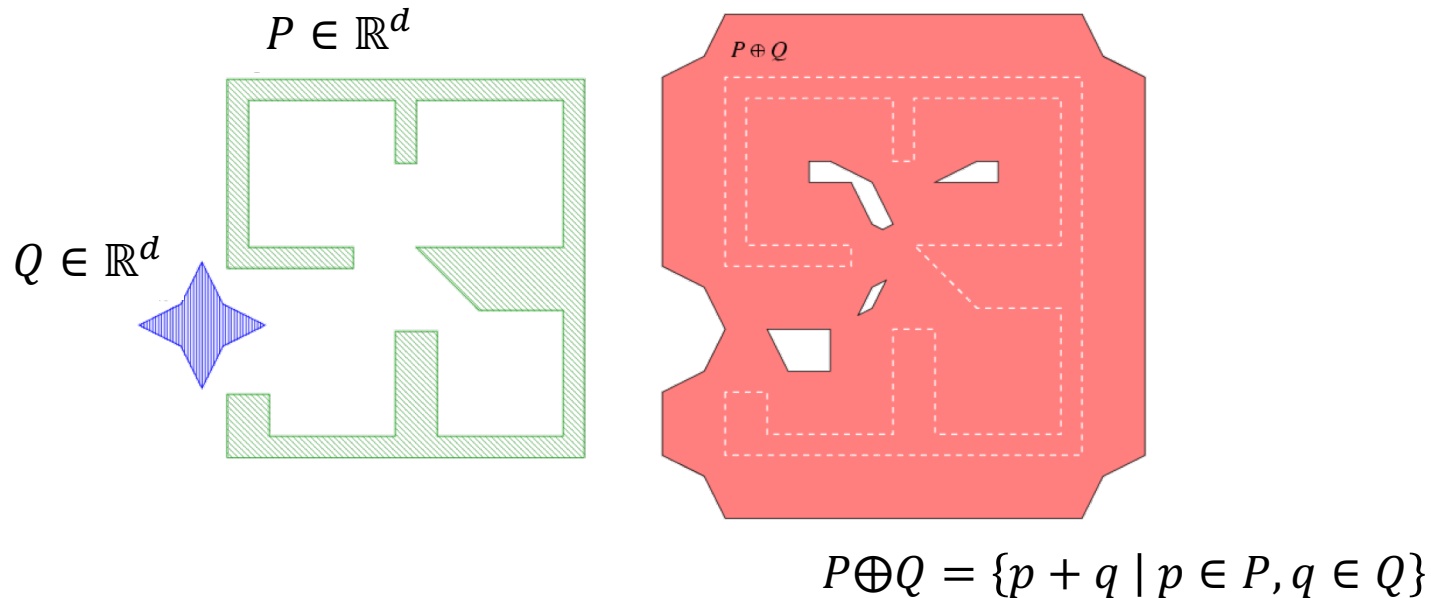
k = Anzahl Schnittpunkte

Anwendung:

- Schnittmengen, Vereinigungen
- Map-Overlay

Algorithmische Geometrie

Minkowski-Summe

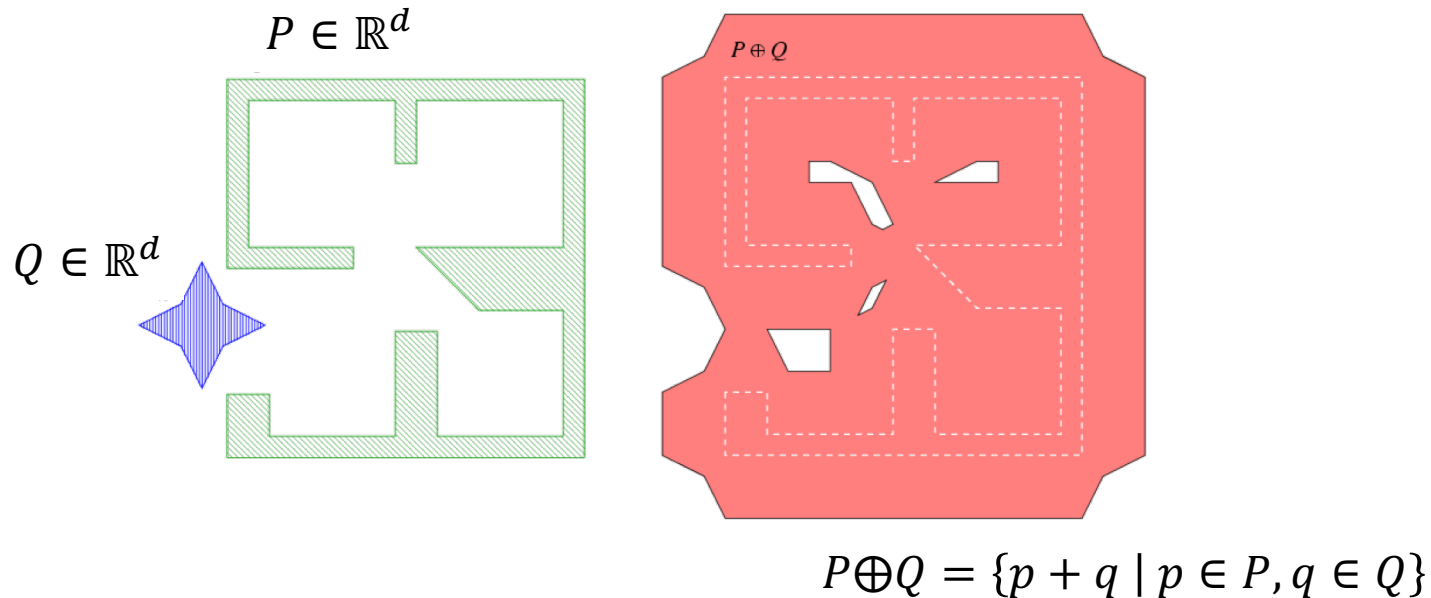


Algorithmus:

- Zerlege P und Q in konvexe Polygone (\rightarrow Mengen A und B)
- Berechne $a \oplus b$ für alle $a \in A, b \in B$.
- Vereinige alle Ergebnispolygone

Algorithmische Geometrie

Minkowski-Summe



Komplexität $P \oplus Q$:

P, Q nicht konvex

entweder P oder Q konvex

P und Q konvex

$$O(m^2 n^2)$$

$$O(mn)$$

$$O(m + n)$$

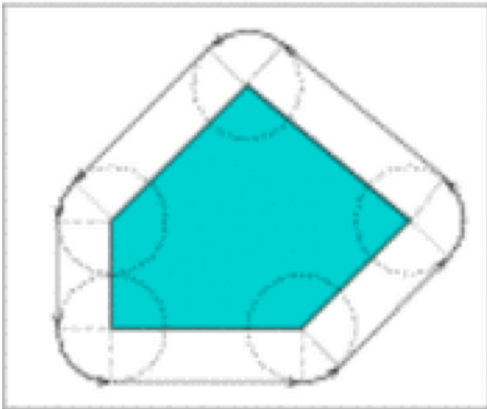
$m = \text{Anzahl Ecken } P$

$n = \text{Anzahl Ecken } Q$

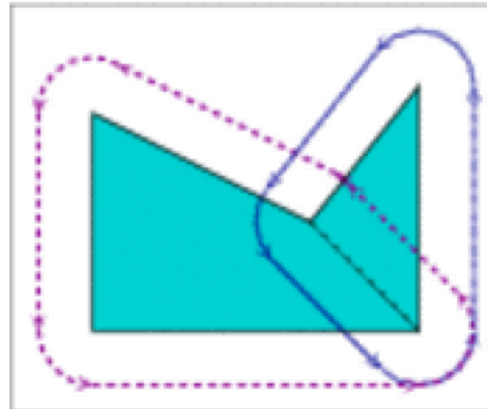
Algorithmische Geometrie

Minkowski-Summe

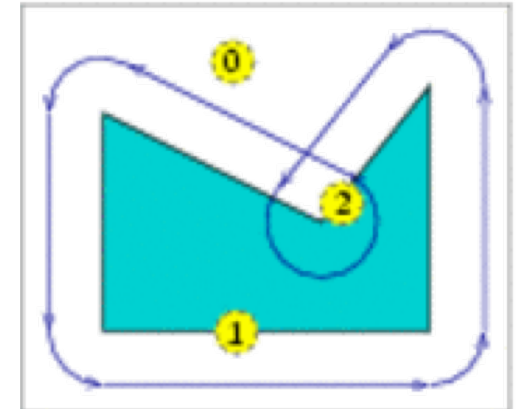
- Polygon-Pufferung



Pufferung eines
konvexen Polygons



Pufferung durch Zerlegung
in konvexe Polygone



Pufferung durch
Umlauf

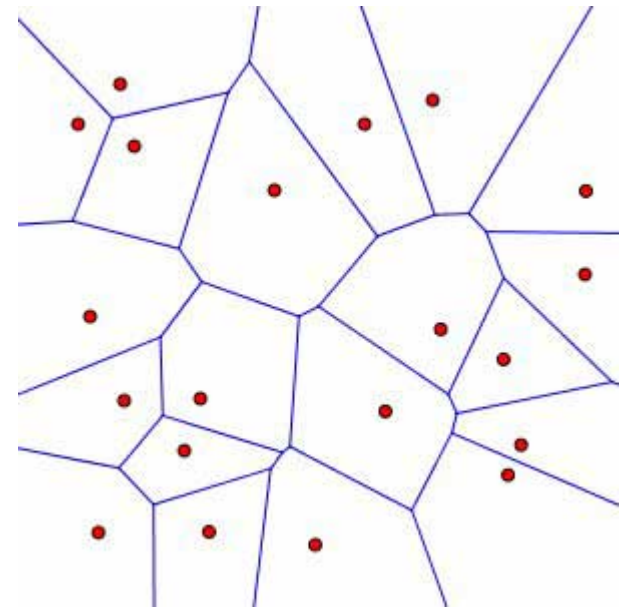
Algorithmische Geometrie

Voronoi-Diagramm

Sei $P = \{P_1, \dots, P_n\}$ eine Menge von n Punkten.

Das Voronoi-Diagramm von P ist eine Zerlegung der Ebene in Regionen $F_1 \dots F_n$, so dass für jeden Punkt $p \in F_i$ und $i, j \in \{1, \dots, n\}$ gilt

$$d(p, P_i) \leq d(p, P_j).$$

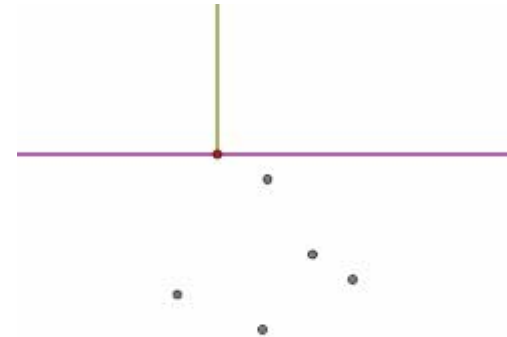


Algorithmische Geometrie

Voronoi-Diagramm

Algorithmus von Fortune:

- Sweep-Line-Algorithmus
- Laufzeit $O(n \log n)$

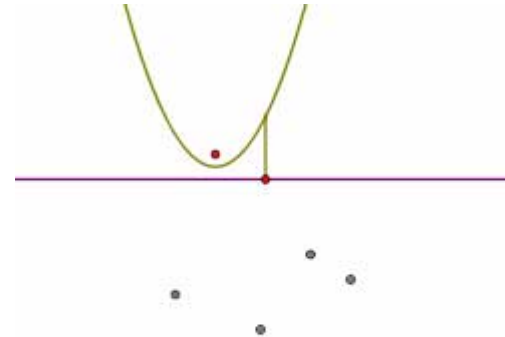


Algorithmische Geometrie

Voronoi-Diagramm

Algorithmus von Fortune:

- Sweep-Line-Algorithmus
- Laufzeit $O(n \log n)$

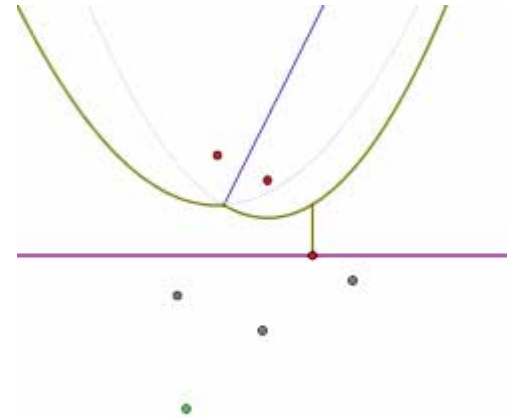


Algorithmische Geometrie

Voronoi-Diagramm

Algorithmus von Fortune:

- Sweep-Line-Algorithmus
- Laufzeit $O(n \log n)$

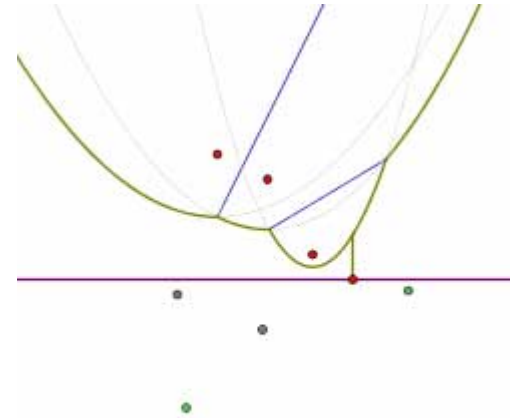


Algorithmische Geometrie

Voronoi-Diagramm

Algorithmus von Fortune:

- Sweep-Line-Algorithmus
- Laufzeit $O(n \log n)$

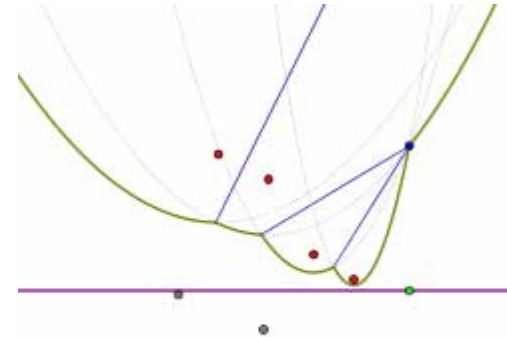


Algorithmische Geometrie

Voronoi-Diagramm

Algorithmus von Fortune:

- Sweep-Line-Algorithmus
- Laufzeit $O(n \log n)$

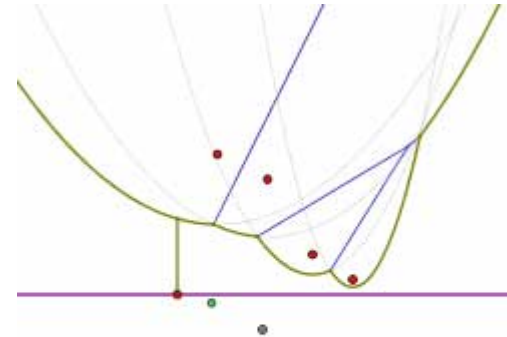


Algorithmische Geometrie

Voronoi-Diagramm

Algorithmus von Fortune:

- Sweep-Line-Algorithmus
- Laufzeit $O(n \log n)$

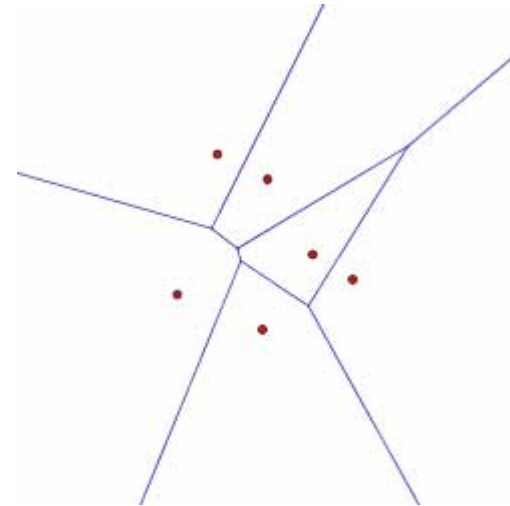


Algorithmische Geometrie

Voronoi-Diagramm

Algorithmus von Fortune:

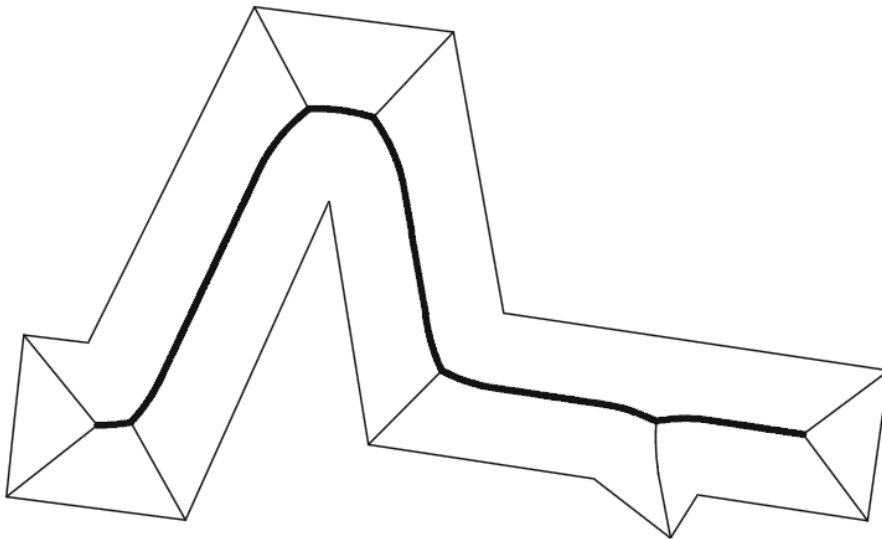
- Sweep-Line-Algorithmus
- Laufzeit $O(n \log n)$



Algorithmische Geometrie

Voronoi-Diagramm

Mediale Achse: Voronoi-Diagramm von n Polygonkanten.

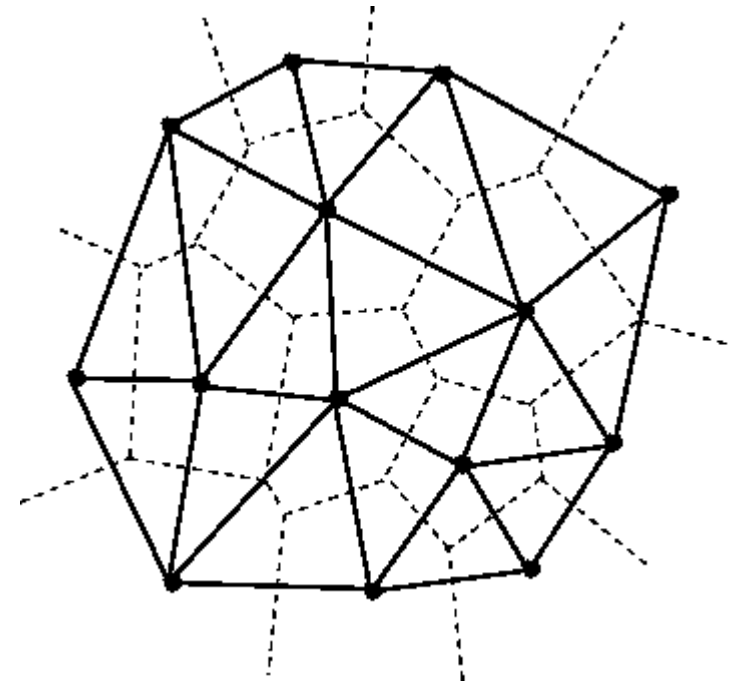


Algorithmus von Chin et al. 1995: Laufzeit $O(n)$

Algorithmische Geometrie

Delaunay-Triangulierung

- Der Umkreis eines Dreiecks enthält in seinem Inneren keinen Eingabepunkt.
- Der kleinste Winkel ist maximal.
- Dual-Graph des Voronoi-Diagramms



inkrementeller Algorithmus:

- erwartete Laufzeit $O(n \log n)$

Teile-und-herrsche:

- Worst-Case-Laufzeit $O(n \log n)$

Anwendung:

- Interpolation (z.B. Höhenmodelle)

Algorithmische Geometrie

- räumliche Indexstrukturen
- Schnittpunkte von Liniensegmenten
- Minkowski-Summe
- Voronoi-Diagramm
- Delaunay-Triangulierung

Links

GIS-Bibliothek JTS (Java):

- <http://sourceforge.net/projects/jts-topo-suite/>

Quantum GIS:

- www.qgis.org/

Openstreetmap-Daten als shp-Datei:

- <http://www.geofabrik.de/data/shapefiles.html>